

II-140 起伏比のスペクトル解析

岐阜大学工学部 正員 増田重臣
岐阜大学工学部 正員 河村三郎
岐阜大学工学部 正員 ○久保田稔

1. 緒論

この報告は第25回年次学術講演会で発表した研究の続報であって、高周波部分において、 $-5/3$ 乗則が成立することを明らかにし、また、この高周波部分における次元解析的考察により、起伏比のパワースペクトルを得たので報告する。

前回の報告では、解析に用いた地形は五万分の一の地形図全面を使用し、個々の流域について起伏比を解析せず、また、起伏比の方向をも考慮に入れなかった。したがって今回は流域として浦田川流域を採用し、また、微小面積内での起伏比の方向をも考慮して解析を行なった。使用した流域の位置と流域面積は図1に、またそれぞれの流域地形図は図2～5に示した。

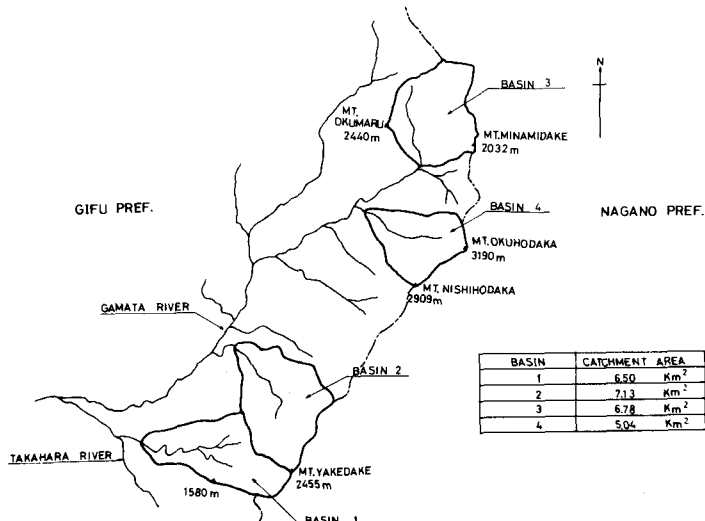
それぞれの流域下流端を原点とし、 10° 間隔に放射線を引き、その放射線上を 3mm 方眼に分割し、その方眼内の最高点と最低点との高度差をその二点間の距離で割ったものをその点の起伏比とし、なおこの起伏比が放射線と交わる角又は読み、cos α を掛け、放射線上へ投影したものと今回は解析に使用した。

cos α を掛けることによつて起伏比に正負が生じるが、

負の方向は起伏比が原点方向へ向いているものとした。

なおこの起伏比の頻度分布図は正規分布をしていると見なせた。

図1



2. 解析

著者らはこの起伏比を Blackman-Tukey の方法によりスペクトル解析を行なった。その結果は両対数座標によつて図6～7に示した。これらの図から、高周波部分において $-5/3$ 乗則が成立していることが知られる。

一方、起伏比の方向又を考慮せずに解析した結果を両対数座標によつて図8に示す。

このスペクトルは、高周波部分において -1 乗則が成立しており、日野¹⁾が次元解析的考察によつて求めた、砂連の勾配のパワースペクトル

$$S_{\text{in}} \propto k^{-1}$$

を満足している。

また、それぞれの放射線上における起伏比の分散と、その放射線上に秉つてゐる山崩れの総延長とを両対数座標で書くと、図9に示されている様に、分散が大きくなるにしたがい、山崩れ総延長が大きくなること、また、個々の流域により、山崩れの起る度合が違うことがある程度推察できる。

3. 考察

図7～8に示した様に、起伏比の方向又を考慮した場合、高周波部分において $-5/3$ 乗則が成立する。したがつて、起伏比のパワースペクトルは

$$F = C k^{-\frac{5}{3}}$$

を満足する。

河川の乱流において $-5/3$ 乗則が成立する領域では、乱流エネルギーは渦のカスケード的輸送が行なわれ、大きな渦から順次小さな渦へエネルギーが輸送される。このことから類推して、周波数より小さい部分から最も大きい部分に輸送されるエネルギー T_K は山崩れで消費されるエネルギー D_K に等しいと考えると、

$$T_K = D_K \quad \dots \quad (1)$$

次元解析により、 $T_K = T_K(F, k, w)$ と置くと、 $T_K = \alpha F^x k^{x-4} w$

一方、 $D_K = D_K(D_0, k, w, b^2)$ と置くと、 $D_K = \beta D_0^{x+4} k^{w-(x+3)} (b^2)^s$

ここに、 D_0 : 単位体積当たりの山崩れによって消費されるエネルギー、

w : 単位体積当たりの重量、

(1)式に代入して、

$$F = C \left(\frac{D_0}{w} \right)^{\frac{x+4}{x}} (b^2)^{\frac{s}{x}} k^{\frac{x-x+4}{x}}$$

を得る。 $(x-x+4)/x = -5/3$ であるから、 $(x+4)/x = -\frac{2}{3}$ 、また $\frac{s}{x} = 1$ と置くと、

$$F = C b^2 \left(\frac{w}{D_0} \right)^{\frac{2}{3}} k^{-\frac{5}{3}} \quad \dots \quad (2)$$

を得る。

各放射線上の Cw/D_0 と、山崩れ総延長とを両対数で表わすと、図10～11に示されているように、 Cw/D_0 が増加するにしたがつて、山崩れ総延長が増加する傾向を持つことが知られる。このことは、ある程度次元解析的考察によるパワースペクトルの式(2)が妥当であることを示している。

また、これらの図11～12は図10と対照してみると、やはり、個々の流域において山崩れの発生頻度が違うことを示している。

1) Miki Hina, Equilibrium range spectra of sand waves formed by flowing water, J. Fluid Mech. (1968), vol. 34, part 3, pp. 565～573

4. 結論

- a) 放射線と起伏比とが交わる角度を考慮しないとき、スペクトルは一乗則にしたがうが、角度を考慮すると一乗則にしたがう。
- b) 放射線上の分散が大きいと山崩れも起りやすい、ただし、土質、林相等の流域特有の因子により、必ずしも分散によって山崩れを一義的に決定することはできない。
- c) 次元解析的考察により、起伏比のスペクトルは

$$F = C b^2 \left(\frac{W}{D_0} \right)^{\frac{2}{3}} k^{-\frac{5}{3}}$$

により表わすことができる。

- d) CW/D_0 が増加するに山崩れが増加する傾向があるが、(b)と同様に、一義的に山崩れを決定することはできない。このことは、同一の CW/D_0 であっても土質、林相等諸条件によって山崩れが左右されていることを示している。

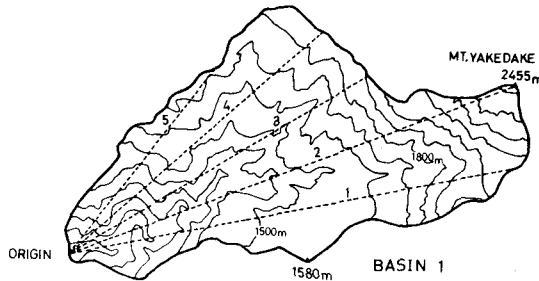


図2

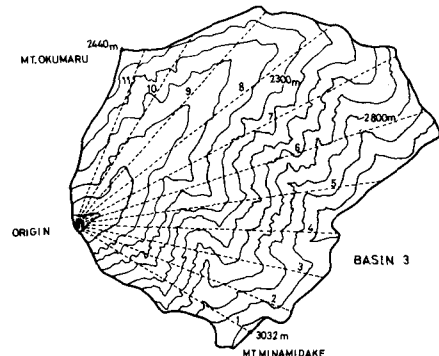


図4

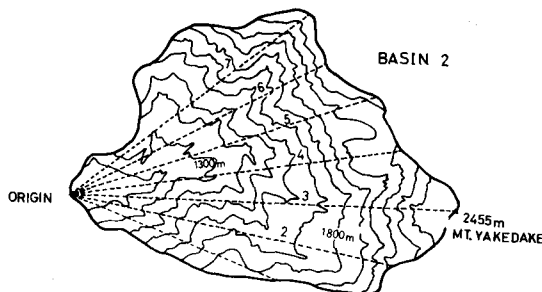


図3

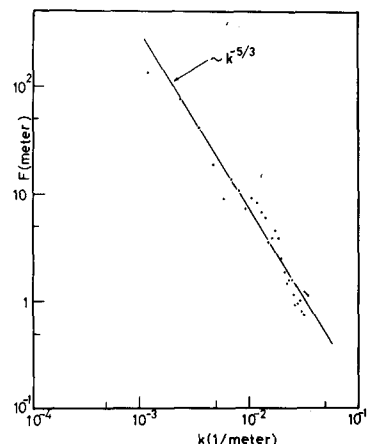


図6

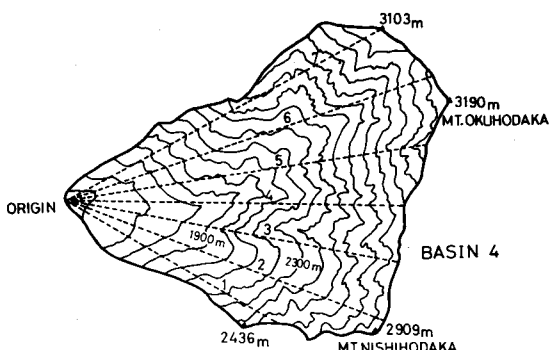


図5

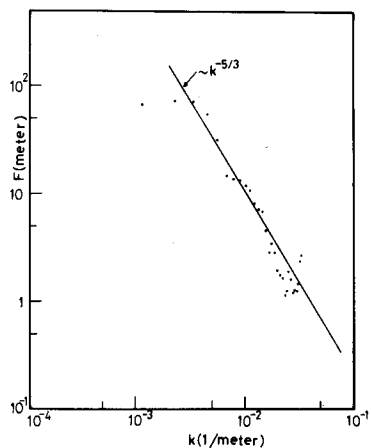


図7

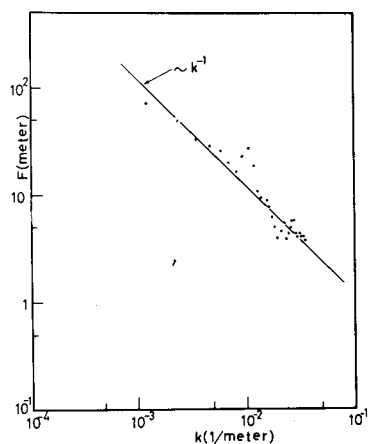


図8

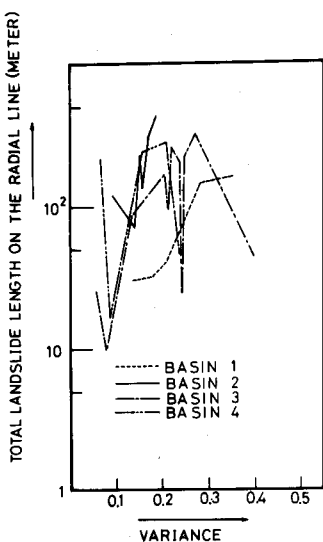


図9

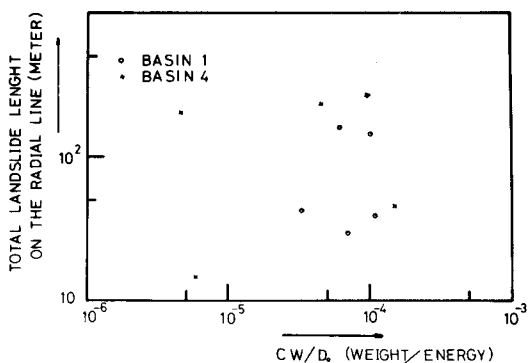


図10

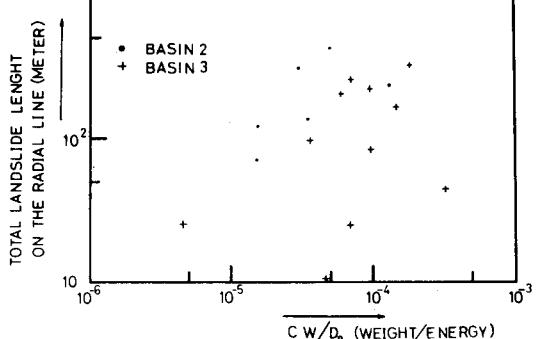


図11